

**РАСЧЕТ ГИДРОДИНАМИЧЕСКОГО ВЗАИМОДЕЙСТВИЯ  
РЕШЕТОК ТОНКИХ ПРОФИЛЕЙ  
С УЧЕТОМ ЭВОЛЮЦИИ ВИХРЕВЫХ СЛЕДОВ**

*Р. Л. Куляев*

(Новосибирск)

Исследованию различных аспектов гидродинамического взаимодействия решеток профилей в нелинейной постановке посвящены работы [1—5]: в [1] экспериментально и в [2] теоретически показано, что пелена свободных вихрей при встрече с профилем разрывается; с учетом эволюции вихревых следов проведены расчеты обтекания двух решеток телесных профилей бесконечно малой [3] и конечной [4] густоты; в [5] приведены результаты экспериментального исследования динамических реакций течения на две взаимодвижущиеся решетки тонких профилей.

В данной статье рассматривается интерференция двух решеток тонких профилей в потоке невязкой несжимаемой жидкости, используется модифицированный метод работы [6].

1. В плоскости декартовых координат  $x, y$  рассматривается безотрывное обтекание двух решеток тонких профилей потоком невязкой несжимаемой жидкости. Ось  $y$  направлена вдоль фронта решеток. Левая решетка предполагается неподвижной, а правая — движущейся вдоль оси  $y$  со скоростью  $u = \text{const}$ . Течение вне профилей и сходящих с них вихревых следов предполагается потенциальным, шаги решеток — одинаковыми, профили — жесткими, а влияние толщины следов и профилей — пренебрежимо малым.

В принятых предположениях скорость течения  $\mathbf{V} = (V_x, V_y)$  удовлетворяет уравнениям

$$(1.1) \quad \text{div } \mathbf{V} = 0, \text{ rot } \mathbf{V} = 0, (x, y) \notin L;$$

условию периодичности

$$(1.2) \quad \mathbf{V}(x, y + h, t) = \mathbf{V}(x, y, t)$$

и следующим граничным условиям:

непротеканию жидкости через профили решеток

$$(1.3) \quad \mathbf{V} \cdot \mathbf{v} = \delta_{k2} u \cdot \mathbf{v}, (x, y) \in L_{pk}, k = 1, 2;$$

непротеканию жидкости через вихревые следы

$$(1.4) \quad \mathbf{V} \cdot \mathbf{v} = \mathbf{V}_w \cdot \mathbf{v}, (x, y) \in L_w;$$

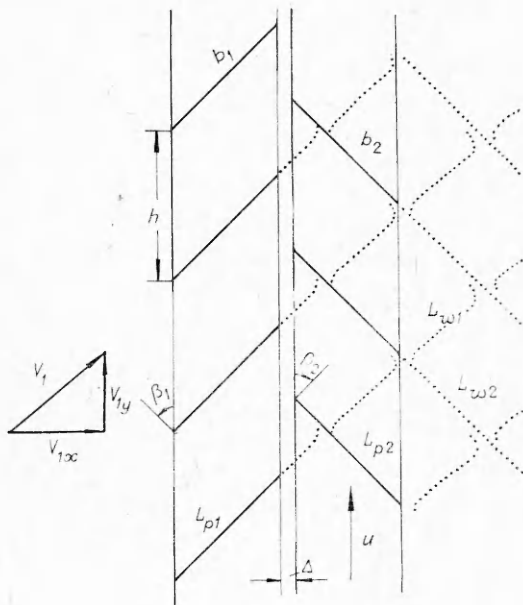
неразрывности давления при переходе через следы

$$(1.5) \quad [p] = 0, (x, y) \in L_w;$$

неразрывности давления в задних кромках профилей (условие Кутта — Жуковского)

$$(1.6) \quad [p] \rightarrow 0, (x, y) \rightarrow (x_e, y_e), (x, y) \in L_p, (x_e, y_e) \in E_p;$$

затуханию возмущенной скорости течения в бесконечном удалении перед решетками



Ф и г. 1

$$(1.7) \quad \lim_{x \rightarrow -\infty} V(x, y, t) = V_1.$$

Здесь  $t$  — время;  $h$  — шаг решеток;  $L_{p1}$  и  $L_{p2}$  — контуры неподвижной и подвижной решеток соответственно (фиг. 1);  $L_p = L_{p1} + L_{p2}$ ;  $L_w = L_{w1} + L_{w2}$ ;  $L_{w1}$  и  $L_{w2}$  — контуры вихревых следов, сходящих с  $L_{p1}$  и  $L_{p2}$  соответственно;  $L = L_p + L_w$ ;  $\mathbf{v}$  — орт нормали к  $L$ ;  $\mathbf{u} = (0, u)$ ;  $\delta_{k2}$  — символ Кронекера;  $V_w$  — скорость перемещения линии  $L_w$ ;  $p$  — гидродинамическое давление;  $E_p$  — совокупность задних кромок профилей;  $V_1 = (V_{1x}, V_{1y}) = \text{const}$ .

В начальный момент времени предполагается, что вихревые следы отсутствуют и конфигурация решеток задана

$$(1.8) \quad L|_{t=0} = L_p|_{t=0} = L_{p0}.$$

Задача (1.1) — (1.8) нелинейна, поскольку контур  $L_w(t)$  заранее неизвестен.

2. Пусть  $L_{pk}^0$  — некоторый профиль  $k$ -й решетки, выбранный в качестве исходного,  $L_{wk}^0$  — контур следа, сходящего с  $L_{pk}^0$  ( $k = 1, 2$ ). Введем величину  $\mathbf{v} = (v_x, v_y)$  равенством

$$(2.1) \quad \bar{v}(s, t) = \bar{V}_1 + \frac{1}{2hi} \int_{L^0} \gamma(\sigma, t) \left\{ 1 + \text{cth} \frac{iv}{h} [\zeta(s, t) - \zeta(\sigma, t)] \right\} d\sigma,$$

где  $\bar{v} = v_x - iv_y$ ;  $\bar{V}_1 = V_{1x} - iV_{1y}$ ;  $s, \sigma$  — дуговая абсцисса;  $L^0 = L_{p1}^0 + L_{p2}^0 + L_{w1}^0 + L_{w2}^0$ ;  $\gamma$  — интенсивность вихревого слоя;  $\zeta = \xi + i\eta$  — комплексная координата точки контура  $L^0$ ; интеграл понимается в смысле главного значения Коши. С учетом (2.1) задача (1.1) — (1.8) сводится по аналогии с [6] к задаче относительно функции  $\gamma$  на контуре  $L^0$  и функции  $\zeta$  на контуре  $L_w^0 = L_{w1}^0 + L_{w2}^0$ . При этом предполагается, что каждая точка произвольного элемента  $(\sigma'(t), \sigma''(t))$  контура  $L_w^0$  перемещается со скоростью  $\mathbf{v}$ , а суммарная интенсивность вихрей на элементе остается неизменной:

$$(2.2) \quad \int_{\sigma'(t)}^{\sigma''(t)} \gamma(\sigma, t) d\sigma = \text{const}.$$

Тогда интенсивность сходящих с контура  $L_p^0 = L_{p1}^0 + L_{p2}^0$  свободных вихрей выражается формулой

$$(2.3) \quad \gamma(l, t) = -\frac{1}{w(l, t)} \frac{d}{dt} \int_0^l \gamma(\sigma, t) d\sigma,$$

где  $l$  — длина контура  $L_{pk}^0$ ;  $\sigma$  отсчитывается от передней кромки профиля;  $w$  — относительная скорость схода с профиля свободных вихрей, определяемая равенством

$$(2.4) \quad w(s, t) = \operatorname{Re}\{\bar{v}\partial\zeta/\partial s\} - \delta_{k2}u\partial\eta/\partial s, \quad k = 1, 2.$$

С учетом (2.1) условие (1.3) принимает вид

$$(2.5) \quad \operatorname{Im}\{\bar{v}\partial\zeta/\partial s\} = -\delta_{k2}u\partial\xi/\partial s, \quad k = 1, 2.$$

Начальное условие можно записать в форме

$$(2.6) \quad L^0|_{t=0} = L_p^0|_{t=0} = L_{p0}^0.$$

Отметим, что выполнение граничных условий (1.3), (1.4) и (1.5), (1.6) следует соответственно из (2.5), (2.1) и (2.2), (2.3) и (2.4), а уравнения (1.1) и условия (1.2), (1.7) выполняются автоматически вследствие замены контура  $L^0$  вихревым слоем. Исходя из этого, в дальнейшем рассматриваем задачу (2.1) — (2.6) о движении вихревого слоя  $L^0$ .

3. Для численного решения задачи (2.1) — (2.6) используется алгоритм работы [6]. Этот алгоритм основан на линеаризации задачи в малой окрестности каждого момента времени и аппроксимации вихревого слоя системой дискретных вихрей. В алгоритме учтены дополнительно следующие факторы.

*Выбор шага по времени  $\Delta t$ .* В [6] шаг  $\Delta t$  удовлетворяет условию

$$(3.1) \quad \Delta t = l/(wN),$$

где  $N$  — число вихрей на профиле. Условие (3.1) обеспечивало равномерность распределения вихрей в окрестности задней кромки профиля. В рассматриваемой задаче шаг  $\Delta t$  задается заранее постоянным, поскольку условие (3.1) невыполнимо одновременно на обеих решетках. Выбор постоянного  $\Delta t$  приводит к некоторой погрешности в определении интенсивности вихрей на профиле и сходящегося с него свободного вихря.

Численное исследование факторов, от которых зависит величина этих погрешностей, привело к следующему результату. В окрестности задней кромки профиля относительная погрешность  $\epsilon_v$  определения интенсивности вихря при  $N \geq 20$  зависит практически лишь от безразмерного параметра  $\tau = l/(wN\Delta t)$  и номера вихря. Пренебрегать этой погрешностью не следует, если  $\tau \neq 1$ . Например, при  $\tau = 1/4; 1/2; 1; 2; 6$  величина  $\epsilon_v$  для свободного вихря имеет соответственно значения  $-0,63; -0,28; 0,00; 0,18; 0,36$ . В соответствии с этим интенсивность вихрей в каждый момент времени вычисляем вначале формально по методу работы [6], игнорируя условие (3.1). Затем определяются параметр  $\tau$ , соответствующие ему величины  $\epsilon_v$ , и погрешности устраняются.

*Прохождение второй решетки  $L_{p2}$  через след  $L_{w1}$  от первой решетки.*

В [1] экспериментально и в [2] теоретически показано, что концы разрезанных профилем частей вихревого следа расходятся друг от друга. Тогда интенсивность свободных вихрей в точках соприкосновения следа с профилем должна быть равна нулю (иначе скорость движения этих точек окажется неограниченной, что не имеет физического смысла). Поэтому участками следа  $L_{w1}$ , расположенными в малой окрестности профилей решетки  $L_{p2}$ , можно пренебречь ввиду малой интенсивности свободных вихрей на этих участках. Теперь для решения задачи можно воспользоваться методом работы [6] при учете того, что система дискретных вихрей дает удовлетворительное приближение поля скоростей вихревого слоя

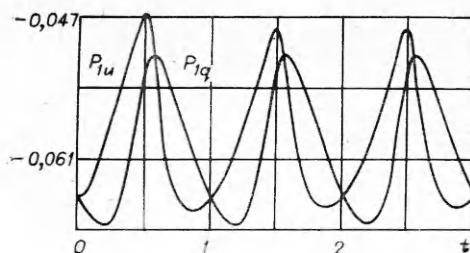
лишь на достаточном от него удалении. В соответствии с этим дискретным вихрям, моделирующим след  $L_{w1}$ , не разрешается подходить к профилям решетки  $L_{p2}$  на расстояние, меньшее  $\kappa l/N$ . Параметр  $\kappa$  выбирается из численного эксперимента таким образом, чтобы гидродинамические реакции потока на профиль  $L_{p2}^0$  вычислялись с минимальной погрешностью (обычно  $1 \leq \kappa \leq 2$ ). Указанные погрешности минимальны, если при повторном счете задачи с удвоенным числом вихрей на профилях обеих решеток и с уменьшенным вдвое шагом по времени результаты близки к полученным первоначально. Отказ от вышеописанной процедуры (который соответствует значению  $\kappa = 0$ ) обычно приводит к прохождению свободных вихрей через профиль  $L_{p2}^0$ .

В качестве примера приводятся результаты расчета интерференции решеток для двух случаев. Общим для них является то, что контуры  $L_{p1}^0$  и  $L_{p2}^0$  прямолинейные, а хорды профилей совпадают с шагом решеток:  $b_1 = b_2 = h$  (фиг. 1). Задача рассматривается как в нестационарной постановке (2.1) — (2.6), так и в квазистационарной (без учета вихревых следов). Величины  $P_{uk}$  и  $P_{qk}$  обозначают соответственно нестационарные и квазистационарные результирующие силы нормального давления потока на профиль  $L_{pk}^0$ ,  $N_k$  — число дискретных вихрей, моделирующих  $L_{pk}^0$  ( $k = 1, 2$ ). В качестве единиц времени и силы принимаются величины  $h/u$  и  $\rho hu^2$  соответственно ( $\rho$  — плотность жидкости).

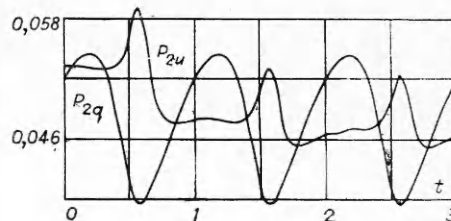
1. Углы выноса решеток  $\beta_1 = \pi/4$ ,  $\beta_2 = -\pi/4$ , зазор между решетками  $\Delta = 0,1 h$ , скорость  $V_1 = (0,7u \cos 40^\circ, 0,7u \sin 40^\circ)$ , шаг по времени  $\Delta t = 1/32$ , параметры  $N_1 = 20$ ,  $N_2 = 40$ ,  $\kappa = 1$ . Рассчитанная форма вихревых следов, приведенная на фиг. 1 для момента  $t = 3$ , свидетельствует о том, что след первой решетки  $L_{w1}$  испытывает растяжение и деформацию вблизи профилей второй решетки, в то время как след  $L_{w2}$  практически не деформируется. При этом концы разрезанных частей следа  $L_{w1}$  расходятся друг от друга. Описанные особенности движения вихревых следов согласуются с работами [1 — 4].

Зависимость от времени нестационарных  $P_{uk}$  и квазистационарных  $P_{qk}$  сил приведена на фиг. 2, 3. Поведение этих сил заметно отличается, особенно на второй решетке. Следует отметить, что аналогичный вариант интерференции решеток, состоящих из симметричных телесных профилей 5%-ной толщины, рассчитан в [4]. В этой работе указывается, что среднее за период значение величин  $|P_{u1}|$  и  $|P_{u2}|$  составляет соответственно 0,07247 и 0,07154. Эти данные неудовлетворительно согласуются с фиг. 2, 3.

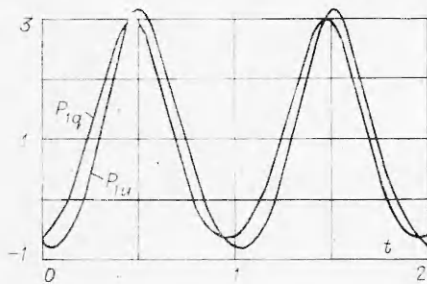
2. Углы выноса  $\beta_1 = 0$ ,  $\beta_2 = -\pi/6$ ; зазор  $\Delta = 0,2h$ ; скорость  $V_1 = (7,536u, 0,129u)$ ; шаг по времени  $\Delta t = 1/64$ ; параметры  $N_1 = N_2 = 20$ ,  $\kappa = 1$ . В этом случае отличие в поведении нестационарных и квазистационарных реакций незначительно (фиг. 4, 5). При сравнении фиг. 3 и 5



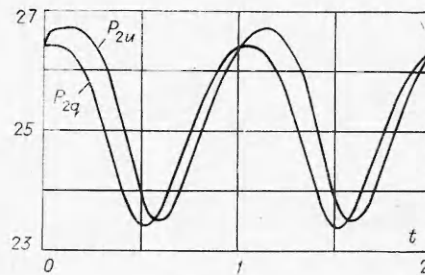
Ф и г. 2



Ф и г. 3



Ф и г. 4



Ф и г. 5

выясняется важность безразмерного параметра  $u/V_{1x}$  — аналога числа Струхала в данной задаче.

Автор выражает благодарность Д. Н. Горелову за обсуждение работы.

Поступила 8 VII 1975

#### ЛИТЕРАТУРА

1. Smith L. H. Wake dispersion in turbomachines.— «Transactions of the ASME», 1966, vol. 88, Ser. D, N 3. Рус. пер. Смит Л. Х. Рассеяние спутной струи в турбомашинках.— «Теор. основы инж. расчетов», 1966, т. 88, сер. Д, № 3.
2. Inumaru N. Interference between a wing and a surface of velocity discontinuity.— «Aeronautical Quarterly», 1973, vol. 24, N 3.
3. Giesing J. P. Nonlinear interaction of two lifting bodies in arbitrary unsteady motion.— «Transactions of the ASME», 1968, vol. 90, Ser. D, N 3. Рус. пер. Гизинг Дж. Нелинейное взаимодействие двух несущих тел в случае произвольного неустановившегося движения.— «Теор. основы инж. расчетов», 1968, т. 90, сер. Д, № 3.
4. Lienhart W. Berechnung der instationären Strömung durch gegeneinander bewegte Schaufelgitter und der Schaufelkraftschwankungen. VDI-Forschungsheft, Düsseldorf, VDI—Verlag, 1974, N 562.
5. Adachi T., Fukusada K., Takahashi N., Nakamoto Y. Study on the interference between moving and stationary blade rows in axial-flow blower.— «Bulletin of the JSME», 1974, vol. 17, N 109.
6. Горелов Д. Н., Куляев Р. Л. Нелинейная задача о нестационарном обтекании тонкого профиля несжимаемой жидкостью.— «Изв. АН СССР. МЖГ», 1971, № 6.

УДК 532.526

### ПОГРАНИЧНЫЙ СЛОЙ НА ВРАЩАЮЩЕМСЯ ЦИЛИНДРЕ В ОСЕВОМ ПОТОКЕ

Г. В. Петров

(Новосибирск)

Полубесконечный полый цилиндр радиуса  $R$  вращается вокруг своей оси с угловой скоростью  $\omega$  и обтекается со скоростью  $u_\infty$  однородным потоком несжимаемой жидкости. Течение считается ламинарным и осесимметричным. Для решения задачи используются переменные

$$(1) \quad s = \beta\xi; \quad \eta = (r^2 - R^2)/2\xi R^2;$$